

山口大学工学部 正員 田村洋一  
山口大学工学部 正員 最上幸夫

### 1. 緒言

われわれは従来から一連の単純なはり構造に衝撃が作用した場合の塑性変形について理論的ならびに実験的研究を行ない、片持はり、単純はりおよび両端固定はりに対して集中衝撃ならびに等分布衝撃が任意点に作用した場合の塑性変形については、われわれの提案して理論式がほぼ適用できることが確認された。そこでこのよう取り扱い方を連続はりや簡単なラーメン構造の場合に拡張し、集中荷重についてはある程度の成果が得られたので、今回は等分布衝撃が作用した場合について実験的検討を行なった。以下その結果について報告する。

### 2. 実験的概要

従来の実験では専ら材料としては鋼材を用いてきたが、今回は異なった材料として黄銅の丸棒（直径5mm）を使用してみた。この材料の定数は試験の結果から次のようになつた。静的降伏応力  $\sigma_0 = 3400 \text{ kg/cm}^2$ ,  $D = 50 \text{ sec}^{-1}$ ,  $P = 4.9$ ,  $M_0 = 70.83 \text{ kg} \cdot \text{cm}$ 。この黄銅丸棒と材料とで今回は1スパン（スパン長30cm）の連続はりを用い、等分布衝撃（分布長10cm）はスパン中央部対称の位置に作用させた。分布衝撃は鋼製よりも用い、その重量は1.11, 1.58, および2.06kgの3種類である。おもりの落高は1.11kgの場合は30, 40, 60, 80および100cmとし、他のおもりの場合はいずれも10~100cm(10cmごとに変化)とした。次にラーメンの場合については、連続はりとの比較のためにスパンを同一の30cm、また柱も30cmとし、等分布衝撃も連続はりの場合と同一のものを使用し、落高はいずれも10~80cm(10cmごとに変化)とした。材料費や時間の關係から、同一の実験は3回繰り返し、その平均値により結果を整理した。衣だく、極端に異なったとみられる測定値が得られた場合にはこれを除外し、さら同じ実験をやり直して平均値を求めた。ラーメンの場合はリ部分に衝撃を加えると、それによって柱部分も若干の塑性変形を生ずるので、それにつけても検討を行なつたが、本文にありては、はり部分の塑性変形についてのみ言及した。

### 3. 理論的考察

(1) 連続はりの場合：図1のように連続はりの1スパンを取り出し、支点Aより任意の距離xに作用する微小衝撃量  $idx$  によって、その衝撃点に生じる鉛直塑性ひずみ  $d\delta$  は次式で与えられる。

$$d\delta = \frac{v_0}{4M_0} \frac{idx \cdot x(l-x)}{[x\{1+\frac{P}{P+1}(\frac{v_0}{2D(l-x)})^{1/2}\} + (l-x)\{1+\frac{P}{P+1}(\frac{v_0}{2Dx})^{1/2}\}]}$$
(1)

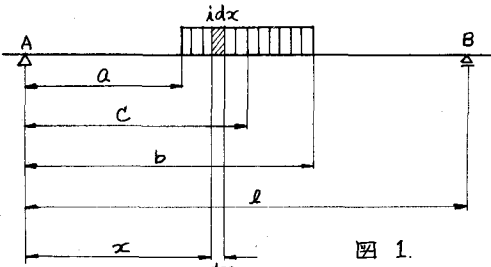


図1.

ここで  $v_0$ : 衝撃によってはりが鉛直方向に移動するとその初速度,  $M_0$ : はりの静的全塑性モーメント

$\mu$ : 単位長さ当たりの衝撃量,  $D, P$ : 材料によって決まる定数

このような衝撃の場合、簡略化は重ね合わせの原理は成立しないものと考えられるが、ここでは便宜上許されるものと仮定する。しかるときは、任意点の塑性ひずみは式(1)を用いて、積分の形で計算することができます。

図1に示すようにあける鉛直塑性ひずみ  $\delta_c$  は次式によつて計算される。

$$\delta_c = \frac{i v_0}{2 M_0 l} \left\{ \int_a^c \frac{x^2 dx}{f_1(x) + f_2(x)} + c \int_c^b \frac{(l-x)^2 dx}{f_3(x) + f_4(x)} \right\} \quad (2)$$

ここで

$$U_c = I / (M + m \cdot l/2), \quad f_1(x) = x \left[ 1 + \frac{P}{P+1} \left\{ \frac{U_c x}{Dl(l-x)} \right\}^{1/P} \right], \quad f_2(x) = (l-x) \left[ 1 + \frac{P}{P+1} \left( \frac{U_c}{Dl} \right)^{1/P} \right]$$

$$f_3(x) = x \left[ 1 + \frac{P}{P+1} \left( \frac{U_c}{Dl} \right)^{1/P} \right], \quad f_4(x) = (l-x) \left[ 1 + \frac{P}{P+1} \left\{ \frac{U_c(l-x)}{Dl x} \right\}^{1/P} \right] \quad \left. \right\} \quad (2)$$

ただし  $I$ : 全衝撃量,  $M$ : 衝撃あたりの全質量,  $m$ : はりの単位長さ当たりの質量。

式(2)は、簡単に積分でまわりの式、収束計算によって求めることになる。

## (2) ラーメンばかりの場合 (図2)

今回の黄銅を用いた場合の実験では、連続ばかりの場合とラーメンのはりの場合で、実測値はほとんど同一とみなしてよい程度であった。すなわちはりの両端にあける固定度の状態が実質的に同一と見なしうる程度で、いわば両端固定ばかりの場合と同様であると解釈される。したがってこの場合も式(2)がそのまま適用されるところとなる。本来ならば、連続ばかりやラーメンばかりの端条件によって、式(2)における  $2M/l$  のかわりに  $(1+\alpha)M/l$  ( $\alpha$  は端条件によって決まる定数で  $0.6 \sim 0.9$  ぐらの変動がある) を用いるべきであるが、今回の実験では両端固定と同一、すなわち  $\alpha=1.0$  を採用した。

## 3. 実験結果と計算値の対比

上述のように、今回の実験では結果的には連続ばかりの場合とラーメンばかりの場合とで明確な測定値の差異は認められなかつたので、ここではラーメンばかりの場合は省略し連続ばかりの場合の計算値と測定値の対比を図示すると図3~5のようになる。(ただし  $W$ : あたりの全質量,  $H$ : 落高(cm)) 計算値と実験値とを比較すると、実験値はいずれも計算値よりは小エリ値を示しているが、その近似度はかなりより結果を示しており、たとえば  $W=2.06 \text{ kg}$ ,  $H=80 \text{ cm}$  の場合、測定値は  $\delta=3.3 \text{ cm}$  に対し、計算値は  $3.43 \text{ cm}$  となりこの場合はまことに一致を示している。あまりが軽く落高の小さいほど両者の差異は大きくなる傾向がありえた。もちろん絶対値が小エリため誤差割合が大きくなるのは、あく落高当然のことといえよう。いずれにしても今回の実験結果より判断すると、式(2)に提案した算式は、ほぼ満足し得る結果を与えることわかった。

## 4. 結言

以上、今回行なった等分布衝撃が作用した場合の連続ばかりおよびラーメンばかりの塑性変形については、われわれが從来より提案してきた理論式を拡張するこにによって得られた式(2)による算式が十分適用可能であることが確認された。しかしラーメンの場合は、柱に生ずる塑性変形について考慮する必要があり、これらの方針については今後の研究に待つたい。

### (参考文献)

最上・田村・小島：等分布衝撃を受けて2.3のほりの塑性変形K.112：山形大学研究報  
(第1報)

Vol.26, no.1.

同上：同上 (第2報) (英訳) : Technology Reports of the Yamaguchi University, Vol. 1, no. 5, 1976.

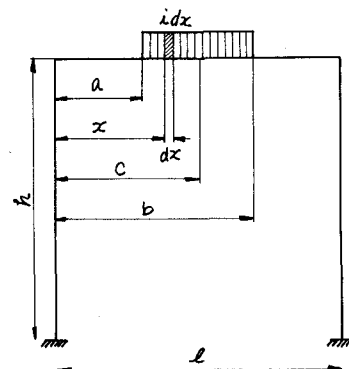


図 2.

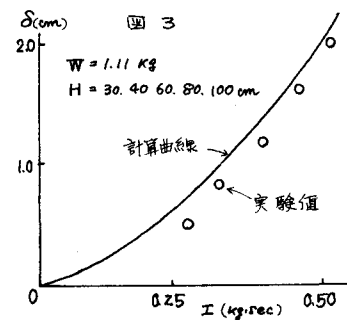


図 3

$W = 1.11 \text{ kg}$

$H = 30, 40, 60, 80, 100 \text{ cm}$

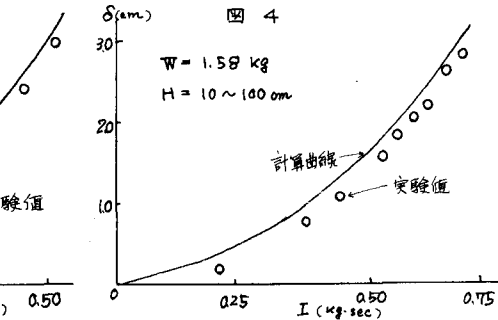
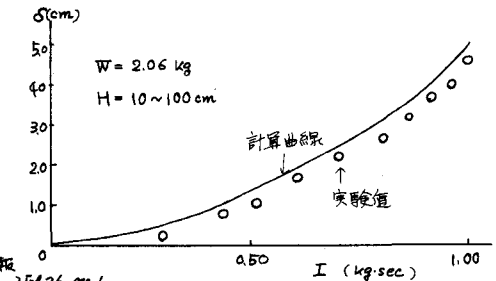


図 4

$W = 1.58 \text{ kg}$

$H = 10 \sim 100 \text{ cm}$



$W = 2.06 \text{ kg}$

$H = 10 \sim 100 \text{ cm}$